

## ·基础研究·

# 下丘脑 Polycomb 蛋白关键基因甲基化 在孕期双酚 A 暴露致子代雌鼠青春期 发育提前中的作用

苏普玉 徐耿 韩阿珠 许诺 张国宝 陶芳标

安徽医科大学公共卫生学院儿少卫生与妇幼保健学系/人口健康与优生安徽省重点实验室, 合肥 230032

通信作者: 苏普玉, Email: supuyu@ahmu.edu.cn, 电话: 0551-65161169

**【摘要】目的** 探讨下丘脑 Polycomb 蛋白组 (PcG) 关键基因 *Eed* 和 *Ezh* 甲基化在孕期双酚 A (BPA) 暴露致子代雌鼠青春期发育提前中的作用。**方法** 采用随机数字表法将 40 只受孕 CD-1 小鼠平均分为对照组(玉米油)和低、中、高剂量暴露组(BPA 染毒剂量分别为 8、40、200 mg/kg),于受孕 1~18 d 每天进行 BPA 灌胃染毒。子代雌鼠出生后 21~33 d 观察阴道开口情况;出生后 34 d 处死, 收集下丘脑组织, 检测下丘脑 *Eed* 和 *Ezh* 基因的甲基化水平。采用阴道开口率、阴道开口时间、第一次动情时间和阴道开口提前天数评价仔鼠青春期发育提前情况。以阴道开口提前天数为因变量, BPA 暴露为自变量, 通过路径模型分析 *Eed* 和 *Ezh* 基因甲基化在 BPA 暴露致子代雌鼠青春期提前中的作用。**结果** 孕期低、中、高剂量 BPA 暴露组子代雌鼠出生 28 d 的阴道开口率 [ 分别为 40.00% (29/72)、47.62% (25/53)、37.84% (20/53) ] 均高于对照组 [ 14.06% (9/64) ]; 孕期低、中、高剂量 BPA 暴露组子代雌鼠阴道开口时间  $P_{50}$  ( $P_{25}, P_{75}$ ) 分别为 28(26, 30)、28(26, 29) 和 28(26, 30) d, 第一次动情时间分别为 31(27, 32)、30(27, 31) 和 31(28, 33) d, 均早于对照组的阴道开口时间 [ 30(28, 31) d ] 和第一次动情时间 [ 32(30, 33) d ] ( $P$  值均  $<0.05$ ); 孕期低、中、高剂量 BPA 暴露组子代雌鼠 *Eed1* (1.61%~1.82%)、*Eed2* (1.36%~1.43%) 和 *Ezh2* (2.87%~3.05%) 甲基化水平均高于对照组 ( 分别为 1.47%、1.26%、2.56%) ( $P$  值均  $<0.05$ )。路径模型分析结果显示, BPA 暴露对子代雌鼠青春期发育提前无直接作用, 经 *Eed2* 和 *Ezh2* 甲基化的间接作用路径系数分别为 0.045 和 0.142。**结论** 孕期母体 BPA 暴露会通过下丘脑 PcG 蛋白关键基因 *Eed* 和 *Ezh* 甲基化导致子代雌鼠青春期发育提前。

**【关键词】** 小鼠; 甲基化; 青春期发育提前; 双酚 A

**基金项目:** 国家自然科学基金(81573163, 81874268); 安徽医科大学第四批“青年拔尖人才支持计划”(2015)

DOI:10.3760/cma.j.issn.0253-9624.2019.03.013

## The role of hypothalamus polycomb gene methylation in bisphenol A exposure during pregnancy and premature puberty in female offspring

Su Puyu, Xu Geng, Han Azhu, Xu Nuo, Zhang Guobao, Tao Fangbiao

Department of Maternal, Child and Adolescent Health, School of Public Health, Anhui Medical University / Anhui Provincial Key Laboratory of Population Health and Aristogenics, Hefei 230032, China

Corresponding author: Su Puyu, Email: supuyu@ahmu.edu.cn, Tel: 0086-551-65161169

**【Abstract】** **Objective** To explore the role of hypothalamus Polycomb Group (PcG) gene (*Eed*, *Ezh*) methylation in the relationship between bisphenol A (BPA) exposure during pregnancy and premature puberty in female offspring. **Methods** A total of 40 pregnant CD-1 mice were randomly and averagely assigned into four groups: control group (corn oil) and low, middle and high BPA-exposed groups (the poisonous doses were 8 mg/kg, 40 mg/kg, and 200 mg/kg, respectively) by random number table method. Each group was administered by gavage from gestational day (GD) 1 to 18. The vaginal opening of female offspring was observed from postnatal day (PND) 21 to 33. All female offsprings were sacrificed, and hypothalamus was remained on the PND 34. The methylation levels of *Eed* and *Ezh* in the hypothalamus

were measured. The early puberty of CD-1 mice was evaluated by the rate of vaginal opening in advance, initial time of vaginal opening, the first estrus occurrence and vaginal opening days in advance. The path model was used to explore the role of *Eed* and *Ezh* gene methylation in the early puberty of female offspring with maternal BPA exposed including the number of days of vaginal opening in advance as a dependent variable and BPA exposure as an independent variable. **Results** The rate of vaginal opening on the 28 day in each maternal BPA-exposure group [low, middle and high BPA-exposed groups were 40.00% (29/72), 47.62% (25/53) and 37.84% (20/53), respectively] was higher than that rate in the control group [14.06%(9/64)]. Similarly, the  $P_{50}(P_{25}, P_{75})$  values of initial time of vaginal opening in low, middle and high BPA-exposed group were 28 (26, 30), 28 (26, 29), 28 (26, 30) days, respectively and the  $P_{50}(P_{25}, P_{75})$  values of the first estrus occurrence in low, middle and high BPA-exposed group were 31 (27, 32), 30 (27, 31), 31 (28, 33) days, respectively, which were earlier than those in the control group [initial time of vaginal opening was 30(28, 31) days, and the first estrus occurrence was 32(30, 33) days] (all  $P$  values<0.05). Compared with the control group (the methylation levels of *Eed1*, *Eed2*, *Ezh2* were 1.47%, 1.26%, 2.56%, respectively), the methylation levels of *Eed1* (1.61%–1.82%), *Eed2* (1.36%–1.43%) and *Ezh2* (2.87%–3.05%) in female offspring were significantly higher in BPA-exposed groups (all  $P$  values<0.05). The results of path model analysis showed that BPA had no direct influence on puberty in advance, but had an indirect effect on puberty in advance (indirect effect path coefficient was 0.045 and 0.142, respectively) by mediating methylation of *Eed2*, and *Ezh2*. **Conclusion** Early puberty in female offspring induced by maternal exposure to BPA during pregnancy through the increased methylation levels of hypothalamus PeG gene (*Eed*, *Ezh*) in female offspring.

**【Key words】** Mice; Methylation; Premature puberty; Bisphenol A

**Fund program:** National Natural Science Foundation of China (General Program: 81573163, 81874268); Youth Top Talent Support Program (IV) of Anhui Medical University (2015)

DOI:10.3760/cma.j.issn.0253-9624.2019.03.013

双酚A(bisphenol A, BPA)是一种广泛存在于人们生产和生活环境中的内分泌干扰物。有研究发现,在美国超过90%的人群尿样中能够检测到BPA<sup>[1]</sup>。当前研究普遍认为BPA可以进入机体内与雌激素受体结合,模仿雌激素的作用,干扰正常雌激素的各种生理生化过程<sup>[2]</sup>。近年来,孕期BPA暴露对子代健康的影响越来越引起人们的关注<sup>[3]</sup>,研究发现胎儿比成人更容易受到BPA的影响<sup>[4]</sup>,母体孕期BPA暴露会对胎婴儿健康造成影响,特别是对雌性生殖系统造成破坏<sup>[5-6]</sup>。Prusinski等<sup>[7]</sup>认为BPA暴露可能通过改变青春期启动相关基因的表观基因组来影响青春期发育,而且动物实验也证实了BPA暴露可导致DNA甲基化状态的改变<sup>[8]</sup>。大鼠动物研究表明下丘脑Polycomb蛋白组(Polycomb Group, PeG)是青春期启动的主要调控蛋白,PeG蛋白主要组成部分为*Eed*和*Ezh*基因编码,而且研究表明PeG蛋白能够抑制Kisspeptin-10的功能以及翻译过程,从而影响青春期发育<sup>[9]</sup>。因此,本研究建立了孕期不同BPA暴露剂量的动物模型,探讨孕期BPA暴露对子代雌鼠青春发育的影响,以及子代雌鼠下丘脑PeG蛋白关键基因(*Eed*和*Ezh*)甲基化在孕期BPA暴露致子代雌鼠青春发育提前中的作用。

## 材料与方法

### 一、材料

1. 试剂:BPA(分析纯99%)购于美国Sigma公司;Trizol、逆转录酶购于美国Invitrogen公司;RNA抑制酶购于美国Santa Cruz;凝胶提取试剂盒购自中国北京天根生化科技公司;Miseq试剂盒购自美国加尼福尼亚州Illumina公司;EZ DNA Methylation-Gold试剂盒购自美国加尼福尼亚州ZYMO公司;10×Reaction buffer购自日本TaKaRa公司;10×TES、SDS、蛋白酶K等生物缓冲液及化学试剂均购自美国Sigma公司。

2. 仪器:LightCycler 480实时荧光定量PCR仪购自瑞士Roche公司;凝胶成像系统购自美国Invitrogen公司;TecanInfinite200酶标仪购自瑞士Tecan公司;Localized Performance超低温冰箱购自中国赛默飞世尔公司;9700-PCR反应扩增仪购自美国ABI公司;Millipore-Q A10超纯水仪购自美国Millipore公司;可见紫外分光光度计购自日本岛津公司;PyroMark Q24焦磷酸测序仪购自美国Qiagen公司;电子天平购自德国Sartorius公司;Eppendorf 5418低温高速离心机购自德国Eppendorf公司;Galaxy 170R恒温孵箱购自中国赛默飞世尔公司。

## 二、方法

1. 实验动物模型的建立:根据既往研究结果<sup>[10-11]</sup>,将BPA暴露分为4组:低、中、高剂量组的BPA染毒剂量分别为8、40、200 mg/kg;以玉米油为对照组。选取健康清洁级CD-1小鼠(8周龄,雌鼠28~30 g,雄鼠32~34 g),购于北京维通利华实验动物技术有限公司(合格证编号:NO.201716639)。在12 h 光照/黑暗循环、恒温(20~25 ℃)和恒湿(50%±5%)的环境下适用性饲养2周,自由获得食物和水。适应性喂养后,晚上21:00将雌鼠和雄鼠按照2:1进行合笼交配,第二天早上8:00检查雌鼠阴道口阴栓情况,检查到阴栓的雌鼠单独饲养,将初次观察到阴栓日期定为受孕0天(Gestational day 0, GD 0)。采用随机数字表法将40只怀孕小鼠随机分为4组(1个对照组和3个实验组),通过灌胃方法对实验组中GD 1~18的小鼠分别给予8、40、200 mg/kg的BPA(溶于玉米油),给药剂量基于1 ml/100 g的小鼠体重,每天根据体重进行剂量调整,保证恒定的剂量水平,对照组小鼠给予等量玉米油。仔鼠出生天数(postnatal day, PND)通过肛门与生殖器之间距离判断性别。于PND 21~33检查子代雌鼠阴道开口,记录开口时间。正常CD-1小鼠35~50日龄是青春期起始阶段<sup>[12]</sup>,因此在PND 33晚上将子代雌鼠禁食,于PND 34清晨即青春期发育成熟之前处死留取标本。所有子代雌鼠经眼球穿刺动脉取血后使用颈椎脱臼法处死,血液样品在4 ℃环境内静置2 h后,2 200×g离心15 min,吸取上清液至1.5 ml离心管,保存于-80 ℃冰箱。将子代雌鼠置于无菌冰桌上,分离出大脑,将大脑腹侧面向上,按照小鼠大脑解剖图谱所示,剥离大脑及周围组织,用无菌镊子取出下丘脑,放入1.5 ml无酶离心管中,置于液氮罐中速冻后,存于-80 ℃超低温冰箱待测。本研究由安徽医科大学实验动物科学学院和实验动物科学研究中心批准(批号:LLSC20150012)。研究中无虐待动物行为,保证动物的基本伦理福利,将动物伤害降至最小。

2. 青春期发育提前的评价:正常CD-1小鼠会在PND 28之后阴道打开,表明体成熟完成,因此本研究将PND 28以前阴道开口定义为阴道开口提前,阴道开口提前率=阴道开口提前的雌鼠数/雌鼠总数×100%,阴道开口提前天数=28-阴道开口时间。采用阴道开口提前率、阴道开口时间、第一次动情时间和阴道开口提前天数评价仔鼠青春期发育提前情况。

3. *Ezh* 和 *Eed* 启动子区甲基化水平测定:(1)下丘脑基因组DNA提取:取出下丘脑组织,充分研磨成粉末,加入0.45 ml TES溶液,再加入50 μl质量分数10%的SDS和5.0 μl浓度为20 mg/ml的蛋白酶K溶液。700×g离心10 min,取上层水相到新的1.5 ml离心管中,加入等体积苯酚、氯仿和异戊醇。7 000×g离心10 min,取上层液。再重复一个循环后。加入2.5倍体积的无水乙醇沉淀DNA,8 500×g离心10 min,弃去乙醇。使用75%乙醇洗涤,7 000×g离心5 min,弃去乙醇,55 ℃干燥DNA。将提取的DNA置于-20 ℃冰箱内保存备用。(2)亚硫酸氢盐转化:取5 μl DNA配置PCR溶液,置入PCR仪器,依照以下程序设置:95 ℃变性5 min,60 ℃退火25 min,95 ℃变性5 min,60 ℃退火85 min,95 ℃变性5 min,60 ℃退火175 min,20 ℃延伸20 min。热循环结束后,依次加入Buffer BL、BW、BD、BW、EB清洗。(3)焦磷酸测序PCR:用特异性引物扩增目的区段,扩增后准备焦磷酸测序。引物设计与合成根据NCBI基因文库中小鼠下丘脑PcG蛋白关键基因*Ezh*和*Eed*基因DNA序列和基因号。分析上述基因启动子区域的CpG岛,针对上述基因CpG岛设计了PCR引物。按操作说明书进行单链的分离纯化和焦磷酸测序反应。测定目标位点中C/胸腺嘧啶(T)的比率,以此判断目标位点的甲基化程度。

4. *Ezh* 和 *Eed* mRNA表达水平检测:(1)下丘脑组织总RNA提取:取出30 mg下丘脑组织加入1 ml Trizol充分研磨。加入0.2 ml氯仿,4 ℃,8 500×g离心10 min,取上清。加入等体积的异丙醇。4 ℃,8 500×g离心10 min。弃上清。加入1 ml 75%乙醇,4 ℃,5 000×g离心3 min,吸上清。晾干,加入30~50 ml不含RNA酶的双蒸水,取1 ml RNA在UV分光光度计上检测核酸浓度。(2)逆转录合成cDNA:取出RNA溶液,在室温下解冻,2 200×g离心10 s,依照试剂盒说明书在PCR管中合成20 μl逆转录反应体系,将体系混匀后,42 ℃反应60 min,95 ℃反应5 min,合成完成后将cDNA存放于-80 ℃保存。(3)实时荧光定量PCR反应:按照说明在冰上配制PCR的总反应体系20 μl,加入PCR扩增的DNA模板,使用实时荧光定量PCR仪进行PCR扩增反应。扩增反应完成后,分析融解曲线。以β-肌动蛋白作为管家基因,校正每个样品的Ct值,并比较不同样品中每种基因mRNA表达差异。

## 三、统计学分析

采用EpiData3.1建立数据库,采用SPSS 23.0软

件和AMOS 22.0软件进行统计分析。子代小鼠数量符合正态分布,以 $\bar{x} \pm s$ 表示;阴道开口时间、第一次动情时间均呈正偏态分布,故以 $P_{50}(P_{25}, P_{75})$ 表示。采用单因素方差分析比较不同BPA暴露组的子代小鼠数量差异;采用 $\chi^2$ 检验比较各组间雌鼠阴道开口提前率,采用生存分析比较各组间阴道开口时间、第一次动情时间;采用单因素方差分析比较孕期母体不同剂量BPA暴露组子代雌鼠下丘脑PcG关键基因Eed和Ezh启动子区DNA甲基化程度和mRNA的表达水平的差异,各暴露组与对照组的两两比较采用Dunnett-t检验。以阴道开口提前天数为因变量,暴露为自变量,通过路径模型分析Eed和Ezh基因甲基化在BPA暴露致子代雌鼠青春期提前中的作用。

## 结 果

1. 不同BPA暴露组的子代小鼠数量:对照组、8、40和200 mg/kg剂量组子代小鼠、雌鼠数量分别为(11.8±0.9)和(6.4±0.8)只、(13.6±1.3)和(8.1±0.8)只、(12.4±1.2)和(5.3±0.8)只、(12.8±0.7)和(5.3±0.6)只,差异均无统计学意义( $F$ 值分别为0.521、2.756,  $P$ 值均>0.05)。

2. BPA暴露对子代雌鼠青春期发育提前的影响:各BPA暴露组的阴道开口提前率和开口时间的差异均有统计学意义( $P$ 值均<0.001)。两两比较发现,低、中和高剂量组的阴道开口提前率和开口时间分别高于和早于对照组( $P$ 值均<0.001)。详见表1。

3. 不同剂量BPA暴露组CD-1子代雌性小鼠Eed与Ezh基因的mRNA表达和甲基化水平的比较:(1)mRNA表达:孕期不同BPA暴露组的子代雌鼠Eed1、Eed2和Ezh2 mRNA表达水平差异均有统计学意义( $P$ 值均<0.001)。两两比较发现,低、中、

**表1 孕期不同剂量BPA暴露组CD-1子代小鼠的青春期提前特征比较**

组别	只数	阴道开口 提前率 [只(%)]	阴道开口时间 [d, $P_{50}(P_{25}, P_{75})$ ]	第一次动情时间 [d, $P_{50}(P_{25}, P_{75})$ ]
对照组	64	9(14.06)	30(28, 31)	32(30, 33)
低剂量组	72	29(40.28) <sup>b</sup>	28(26, 30) <sup>b</sup>	31(27, 32) <sup>a</sup>
中剂量组	53	25(47.17) <sup>b</sup>	28(26, 29) <sup>b</sup>	30(27, 31) <sup>b</sup>
高剂量组	53	20(37.74) <sup>b</sup>	28(26, 30) <sup>b</sup>	30(28, 33) <sup>b</sup>
统计值		16.23	16.83	23.94
$P$ 值		<0.001	<0.001	<0.001

注:对照组为玉米油,低、中、高剂量组的BPA染毒剂量分别为8、40、200 mg/kg;各组阴道开口提前率采用 $\chi^2$ 检验比较,阴道开口时间和第一次动情时间采用生存分析比较;<sup>a</sup>与对照组比较,  $P$ <0.05;<sup>b</sup>与对照组比较,  $P$ <0.001

高剂量组Eed1和Eed2 mRNA表达水平均低于对照组,中剂量组Ezh2 mRNA表达水平低于对照组,而高剂量组Ezh2 mRNA表达水平高于对照组,差异均有统计学意义( $P$ 值均<0.05)。(2)甲基化表达:孕期不同剂量BPA暴露组子代雌鼠Eed1、Eed2和Ezh2甲基化水平差异均有统计意义( $P$ 值均<0.001),而不同剂量组子代雌鼠Ezh1甲基化水平差异无统计学意义( $P$ >0.05)。两两比较发现,低、中、高剂量组Eed1、Eed2和Ezh2甲基化水平均高于对照组,差异均有统计意义( $P$ 值均<0.05)。详见表2。

4. Eed和Ezh基因甲基化在BPA暴露致子代雌鼠青春期发育提前中的作用:子代雌鼠青春发育提前影响因素的路径图见图1。BPA暴露对子代雌鼠青春期提前的直接作用无统计学意义( $P$ >0.05),经Eed2和Ezh2甲基化的间接作用路径系数分别为0.045和0.142( $P$ 值均<0.05),即BPA暴露通过Eed2和Ezh2甲基化导致子代雌鼠青春期发育提前。详见表3。

## 讨 论

有研究表明,小鼠在青春期前的内分泌干扰物

**表2 孕期不同剂量BPA暴露组CD-1子代雌性小鼠Eed与Ezh基因的mRNA表达和甲基化水平的比较**

组别	只数	mRNA( $\bar{x} \pm s$ )				甲基化(%)			
		Eed1	Eed2	Ezh1	Ezh2	Eed1	Eed2	Ezh1	Ezh2
对照组	64	1.08±0.28	1.30±0.20	1.50±0.27	1.64±0.22	1.47±0.08	1.26±0.08	2.09±0.24	2.56±0.24
低剂量组	72	0.48±0.18 <sup>b</sup>	0.61±0.23 <sup>b</sup>	1.49±0.33	1.33±0.17 <sup>b</sup>	1.81±0.51 <sup>b</sup>	1.42±0.25 <sup>b</sup>	1.97±0.68	3.01±0.76 <sup>b</sup>
中剂量组	53	0.57±0.20 <sup>b</sup>	0.68±0.14 <sup>b</sup>	1.51±0.32	1.31±0.43 <sup>b</sup>	1.82±0.51 <sup>b</sup>	1.43±0.29 <sup>b</sup>	1.20±0.66	3.05±0.73 <sup>b</sup>
高剂量组	53	0.68±0.22 <sup>b</sup>	0.65±0.25 <sup>b</sup>	1.48±0.18	1.92±0.40 <sup>b</sup>	1.61±0.07 <sup>a</sup>	1.36±0.66 <sup>a</sup>	1.95±0.80	2.87±0.79 <sup>a</sup>
$F$ 值		50.86	29.52	0.01	36.09	11.85	6.67	0.06	5.88
$P$ 值		<0.001	<0.001	0.999	<0.001	<0.001	<0.001	0.979	<0.001

注:<sup>a</sup>与对照组比较,  $P$ <0.05;<sup>b</sup>与对照组比较,  $P$ <0.001

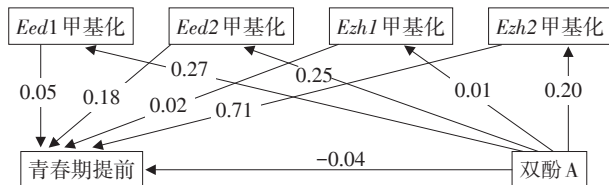


图1 孕期双酚A暴露致子代雌鼠青春发育提前的路径图

表3 孕期BPA暴露致子代雌鼠青春发育提前的作用分解图(路径系数)

影响因素	直接作用	总体作用
BPA暴露 <sup>a</sup>	-0.04 <sup>b</sup>	0.147
Eed1 甲基化	0.05 <sup>c</sup>	0.05
Eed2 甲基化	0.18 <sup>c</sup>	0.18
Ezh1 甲基化	-0.02 <sup>b</sup>	-0.02
Ezh2 甲基化	0.71 <sup>c</sup>	0.71

注:<sup>a</sup> BPA暴露经Eed2和Ezh2基因甲基化的间接作用分别为0.045<sup>c</sup>和0.142<sup>c</sup>; <sup>b</sup>P>0.05; <sup>c</sup>P<0.05

暴露会影响激素水平和性成熟的时间<sup>[13]</sup>。Chung等<sup>[14]</sup>给予PND 8雌性小鼠皮下注射BPA,发现暴露组阴道开口时间较早,这可能是由于幼鼠的大脑尚处于性别分化阶段,而生殖系统的发育对外源性物质较为敏感,提示青春期前BPA暴露可能促进青春期发育。母体孕期BPA暴露通过胎盘屏障影响胚胎发育<sup>[15-16]</sup>。本次研究结果显示,母体孕期BPA暴露可导致子代雌鼠阴道开口时间与第一次动情时间的提前,并且增加阴道开口提前率,表明孕期母体BPA暴露会使子代雌鼠青春期发育提前。Inagaki等<sup>[17]</sup>研究发现长期暴露于低剂量BPA直到成年期可能破坏正常的大脑功能和行为,其后代即使没有BPA暴露也会发生神经发育和行为的缺陷,这表明BPA暴露会导致下一代相关功能受损。然而,母体孕期BPA暴露影响子代雌性青春期提前机制仍不清楚,一些研究认为孕期BPA暴露可能通过改变子代表观基因组从而影响青春期发育<sup>[7]</sup>。

本研究发现,母体孕期BPA暴露的子代雌鼠下丘脑Eed1与Eed2的CpG岛甲基化水平均高于对照组,Ezh2的CpG岛甲基化水平也高于对照组,表明母体孕期BPA暴露影响了子代雌鼠下丘脑Eed和Ezh2启动子区的甲基化水平。已有研究证明基因启动子区DNA甲基化状态在基因表达调控中起重要作用,基因启动子区的高甲基化可以有效地沉默相关基因的转录功能<sup>[18-21]</sup>。PcG蛋白是一类进化上极为保守的转录抑制因子,主要通过染色质修饰调控靶基因的转录抑制子。PcG蛋白关键基因(Eed、Ezh)通过表观遗传机制(DNA甲基化)导致靶基因

沉默是控制和调节青春期启动神经内分泌功能的重要机制,这在其他哺乳动物实验中也得到了验证<sup>[22-23]</sup>。本研究进一步检测了孕期母体BPA暴露对子代雌鼠下丘脑Eed和Ezh基因的mRNA表达水平的影响(对于Eed与Ezh两个基因,均发现了两个CpG岛),结果显示,与对照组相比,孕期母体BPA暴露组子代雌鼠Eed1、Eed2 mRNA的表达水平下降,而对Ezh1 mRNA的表达水平没有影响。值得注意的是,孕期母体低和中剂量BPA暴露组子代雌鼠Eed2 mRNA表达低于对照组,而孕期母体高BPA暴露组子代雌鼠Eed2 mRNA表达水平却高于对照组,差异均有统计学意义(*P*值均<0.05)。此结果提示mRNA水平可能与母体BPA暴露剂量呈U型曲线关系,仍需要进一步研究证明。

路径模型分析结果显示,BPA暴露对子代雌鼠青春期提前的直接作用无统计学意义,经Eed2和Ezh2甲基化的间接作用路径系数分别为0.045和0.142(*P*值均<0.05),即BPA暴露对子代雌鼠青春期发育不产生直接影响,而是通过Eed2和Ezh2甲基化导致子代雌鼠青春期发育提前。

综上所述,母体孕期BPA暴露可导致子代雌鼠青春期发育提前,BPA暴露通过下丘脑PcG蛋白关键基因(Eed、Ezh)启动子区甲基化对子代雌鼠青春期发育提前产生影响。不过,本研究并没有涉及青春期启动基因相关的代谢酶和蛋白质,所以母体孕期BPA暴露影响青春期与Eed、Ezh基因调控的机制还没有完全解释清楚。在未来的研究中,尚需深入研究孕期母体BPA暴露对Eed、Ezh基因相关蛋白表达的影响,探讨孕期母体BPA暴露导致子代雌性青春期启动具体机制。

利益冲突 所有作者均声明不存在利益冲突

## 参 考 文 献

- [1] Calafat AM, Kuklenyik Z, Reidy JA, et al. Urinary concentrations of bisphenol A and 4-nonylphenol in a human reference population[J]. Environ Health Perspect, 2005, 113(4): 391-395. DOI: 10.1289/ehp.7534.
- [2] 徐耿, 苏普玉. 童年期双酚A暴露对女童青春期发育提前的影响[J]. 中国儿童保健杂志, 2016, 24(7): 719-722. DOI: 10.11852/zgetbjzz2016-24-07-13.
- [3] 张秋凤, 鲍慧惠, 吴婉珂, 等. 孕早期双酚A暴露与学龄前儿童睡眠问题的关联研究[J]. 中华预防医学杂志, 2018, 52(10): 1018-1022. DOI: 10.3760/cma.j.issn.0253-9624.2018.10.010.
- [4] Nishikawa M, Iwano H, Yanagisawa R, et al. Placental transfer of conjugated bisphenol A and subsequent reactivation in the rat fetus[J]. Environ Health Perspect, 2010,

- 118(9): 1196-1203. DOI: 10.1289/ehp.0901575.
- [5] Peretz J, Vrooman L, Ricke WA, et al. Bisphenol A and reproductive health: update of experimental and human evidence, 2007-2013[J]. Environ Health Perspect, 2014, 122(8): 775-786. DOI: 10.1289/ehp.1307728.
- [6] Gamez JM, Penalba R, Cardoso N, et al. Low dose of bisphenol A impairs the reproductive axis of prepuberal male rats[J]. J Physiol Biochem, 2014, 70(1): 239-246. DOI: 10.1007/s13105-013-0298-8.
- [7] Prusinski L, Al-Hendy A, Yang Q. Developmental exposure to endocrine disrupting chemicals alters the epigenome: Identification of reprogrammed targets[J]. Gynecol Obstet Res, 2016, 3(1): 1-6. DOI: 10.17140/GOROJ-3-127.
- [8] Yuan C, Zhang Y, Liu Y, et al. Enhanced GSH synthesis by Bisphenol A exposure promoted DNA methylation process in the testes of adult rare minnow Gobio cypris rarus[J]. Aquat Toxicol, 2016, 178: 99-105. DOI: 10.1016/j.aquatox.2016.07.015.
- [9] Liu B, Pang B, Wang Q, et al. EZH2 upregulation correlates with tumor invasiveness, proliferation, and angiogenesis in human pituitary adenomas[J]. Hum Pathol, 2017, 66, 101-107. DOI: 10.1016/j.humpath.2017.03.028.
- [10] Hengstler JG, Foth H, Gebel T, et al. Critical evaluation of key evidence on the human health hazards of exposure to bisphenol A[J]. Crit Rev Toxicol, 2011, 41(4): 263-291. DOI: 10.3109/10408444.2011.558487.
- [11] Wang P, Luo C, Li Q, et al. Mitochondrion-mediated apoptosis is involved in reproductive damage caused by BPA in male rats[J]. Environ Toxicol Pharmacol, 2014, 38(3): 1025-1033. DOI: 10.1016/j.etap.2014.10.018.
- [12] Maranghi F, Tassinari R, Moracci G, et al. Effects of a low oral dose of diethylstilbestrol (DES) on reproductive tract development in F1 female CD-1 mice[J]. Reprod Toxicol, 2008, 26(2): 146-150. DOI: 10.1016/j.reprotox.2008.07.002.
- [13] Watkins DJ, Téllez-Rojo MM, Ferguson KK, et al. In utero and peripubertal exposure to phthalates and BPA in relation to female sexual maturation[J]. Environ Res, 2014, 134: 233-241. DOI: 10.1016/j.envres.2014.08.010.
- [14] Chung YH, Han JH, Lee SB, et al. Inhalation toxicity of bisphenol A and its effect on estrous cycle, spatial learning, and memory in rats upon whole-body exposure[J]. Toxicol Res, 2017, 33(2): 165-171. DOI: 10.5487/tr.2017.33.2.165.
- [15] Ahmed RG. Maternal bisphenol A alters fetal endocrine system: Thyroid adipokine dysfunction[J]. Food Chem Toxicol, 2016, 95: 168-174. DOI: 10.1016/j.fct.2016.06.017.
- [16] Nesan D, Sewell LC, Kurrasch DM. Opening the black box of endocrine disruption of brain development: Lessons from the characterization of Bisphenol A[J]. Horm Behav, 2018 Jan 3. pii: S0018-506X(17)30398-7. DOI: 10.1016/j.yhbeh.2017.12.001.
- [17] Inagaki T, Smith NL, Sherva KM, et al. Cross-generational effects of parental low dose BPA exposure on the Gonadotropin-Releasing Hormone3 system and larval behavior in medaka (Oryzias latipes) [J]. Neurotoxicology, 2016, 57: 163-173. DOI: 10.1016/j.neuro.2016.09.021.
- [18] Misawa K, Kanazawa T, Misawa Y, et al. Frequent promoter hypermethylation of tachykinin-1 and tachykinin receptor type 1 is a potential biomarker for head and neck cancer[J]. J Cancer Res Clin Oncol, 2013, 139(5): 879-889. DOI: 10.1007/s00432-013-1393-5.
- [19] Shu J, Jelinek J, Chang H, et al. Silencing of bidirectional promoters by DNA methylation in tumorigenesis[J]. Cancer Res, 2006, 66(10): 5077-5084. DOI: 10.1158/0008-5472.CAN-05-2629.
- [20] Michalak EM, Nacerddine K, Pietersen A, et al. Polycomb group gene Ezh2 regulates mammary gland morphogenesis and maintains the luminal progenitor pool[J]. Stem Cells, 2013, 31(9): 1910-1920. DOI: 10.1002/stem.1437.
- [21] Siebold AP, Banerjee R, Tie F, et al. Polycomb Repressive Complex 2 and Trithorax modulate Drosophila longevity and stress resistance[J]. Proc Natl Acad Sci USA, 2010, 107(1): 169-174. DOI: 10.1073/pnas.0907739107.
- [22] Lomniczi A, Ojeda SR. The Emerging Role of Epigenetics in the Regulation of Female Puberty[J]. Endocr Dev, 2016, 29: 1-16. DOI: 10.1159/000438840.
- [23] Lomniczi A, Loche A, Castellano JM, et al. Epigenetic control of female puberty[J]. Nat Neurosci, 2013, 16(3): 281-289. DOI: 10.1038/nn.3319.

(收稿日期:2018-04-16)

(本文编辑:张振伟)

## 《中华预防医学杂志》第十一届编辑委员会通讯编委名单

(以下按姓氏汉语拼音排序)

陈恩富	陈 曜*	次仁央宗*	丁贤彬	董光辉*	方利文*	冯福民	冯国双*	郭 欢*	何 云	
胡余明	黄 芳	黄学勇*	贾曼红*	李 霓	李秀红*	刘 惠	刘 楠	逯晓波*	马超峰*	马翔宇*
毛 琛*	孟玲慧*	潘 安*	潘力军*	潘晓红*	潘雪莉	彭措次仁*		邱茂峰	沈 冲*	史 荔*
史卫峰*	孙殿伟*	田怀玉*	王环宇*	王 慧	王建东	王丽敏*	王 鑫*	夏胜利*	徐 健*	许松涛*
许雅君*	杨文君*	姚应水*	尹卫东	袁建辉*	詹 军	章树业*	张 浩*	张茂俊	张晓燕	张严峻*
张之伦	张志勇	郑景山*	周 旺*	周翊峰						

注:加\*为新任通讯编委